

## II-320 海洋構造物の波浪中の諸性能に関する実験的研究（その1）－單体薄体の動揺応答特性－

(株)熊谷組  
正員 新田 良典  
正員 山崎 昌  
正員 山口 高弘

## 1. まえがき

近年、海洋開発の場が沖合にのびるにつれて、気・海象条件の悪化、水深および塔高設備の増大等により、海洋構造物の規模を大型化する傾向にある。それに伴って、海上で接合・組立てる分割建造方式が要求され、その設計、施工にあたって浮体としての運動特性を把握する必要がある。我々は、浅海域で建造できる大木梁用海洋構造物の開発を行い、本構造物の浮遊状態における海上作業を安全かつ効率的に行うための基礎資料を得ることを目的として、水槽模型実験を実施したので、その結果について報告する。

## 2. 実験の概要

## (1) 供試模型

供試模型は、実機を1/10に縮小したアルミ製で分割して製作されており、部材相互を結合することにより各構造模型、一体構造模型となる。実験はこの2種類の模型を用いて行い、その主要寸法を図-1に示す。

## (2) 実験ケース

実験は、建造過程のうち、浮遊状態での施工期間が長期における状態を選び、表-1に示す条件で行った。表-2に各浮体の主要目を示した。各ケースとも係留状態と無係留状態について行っており、その計測方法を図-2、図-3に示す。

実験波は、規則波と不規則波を用い、波向は構造物の長軸に対し $0^{\circ}$ と $45^{\circ}$ の2種類とした。規則波は波高3.33cmで、波長入は構造物の代表長さを用いて、波長船長比 $\lambda/L$ を0.75から2.0まで0.25ピッチで変化させた6種類とした。これは実機対応で、波高3.0m、波長入=90~240m、波周期T=7.6~12.3秒である。

不規則波是有義波高3.33cm、平均波周期0.8秒の諸元をもつISSCスペクトルを使用した。

## (3) 測定方法およびデータ処理方法

浮体の動搖はポテンショ型の6成分動搖計で計測し、各モードの動搖量をペンレコーダおよびデータレコーダに記録した。規則波実験ではペントレコーダに記録したものを見取り解析した。不規則波実験ではデータレコーダに収録した波形データを多変換し、スペクトル計算を行った。この計算で求められた入射波のスペクトル $S_I(w)$ および各モードの動搖応答ス

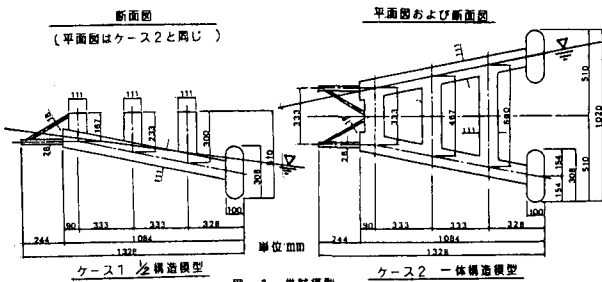


図-1 供試模型

表-1 実験ケース						
浮遊状態 ケースNO	係留の有無	入射波 $L_g (m)$	波高 $H_s (m)$	八割波高 $H_{90\%} (m)$	八割波周期 $T_{90\%} (s)$	スケール
1, 2 無係留	規則波	45	0.33	0.33	0.75~2.0	
	不規則波	45	$H_s = 3.33$	—		
無 係留	規則波	0	0	0.33	0.75~2.0	
	不規則波	0	$H_s = 3.33$	—		

表-2 浮体の主要目		ITEM	CASE OF FLOATING CONDITION	1	2
DISPLACEMENT (kg)	39,700	1	87,960	2	
METACENT	$L_M (m)$	0.80	0.42		
HEIGHT	$l_M (m)$	0.27	0.21		
RADIUS	ROLL (m)	0.27	0.36		
OF	PITCH (m)	0.35	0.46		
GYRATION	YAW (m)	0.44	0.45		

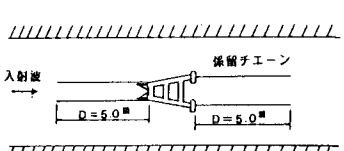


図-2 係留状態記載図

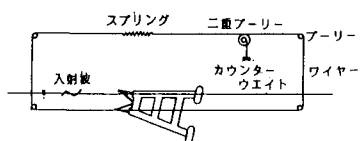
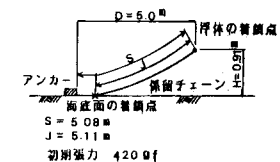


図-3 無係留試験

ベクトル  $S_m(\omega)$  より(1)式を適用して、各モードの周波数応答率  $H(\omega)$  を求めた。

$$S_m(\omega) = |H(\omega)|^2 \cdot S_I(\omega) \quad \dots \dots \quad (1)$$

### 3. 実験結果と考察

実験は、ケース1、ケース2の浮遊状態で行っているが、両者の動搖特性は同様な傾向を示しているため、ここではケース1の実験結果を用いて考察する。

ここに示した各図は、横軸に  $\lambda_L$ 、縦軸にヒーブについては浮体の動搖振幅を入射波高で除して無次元化したもの。ピッチについては動搖振幅を最大波傾斜角で除して無次元化したものとなっている。ここで各運動成分の動搖量は浮体の重心位置におけるものである。

図-4は、係留時で波向  $0^\circ$  のヒーブ、ピッチの規則波実験と不規則波実験における動搖特性を比較したものである。これによると、ヒーブ、ピッチとも全周波数領域で両者の動搖応答特性はよく一致しており、今回の実験範囲内では、波に対する動搖の応答が線形系であると考えられる。

図-5は、ヒーブ、ピッチについて波向  $0^\circ$  での係留時と無係留時の動搖特性の比較を行ったものである。 $\lambda_L = 1.75$

、2.0で両者は定量的に若干の差がみられるものの動搖量はほぼ一致している。ここで注目すべきものとしては、今回の係留実験では拘束力の強い係留方法を用いたにもかかわらず動搖が軽減されたことである。このことは、合田等の既述の実験でも報告されており、通常の係留方式では、浮体の移動(漂流)は抑えることができても波による周期的動搖を減少させることは困難であることが確かめられた。

図-6は、波向  $0^\circ$  と  $45^\circ$  のヒーブ、ピッチの動搖量を比較したものである。波向  $45^\circ$  の場合、ヒーブの動搖量は  $0^\circ$  のときには約2倍近く大きくなっているが、ピッチはさほど差が見られなかった。また、波向  $0^\circ$  の場合、ヒーブ、ピッチ、サーボの3成分以外の応答は極めて小さいが、 $45^\circ$  では各運動成分とも大きく動搖している。

図-7に波向  $45^\circ$  のロールの動搖量を示した。全体的に波向  $45^\circ$  の場合、 $0^\circ$  に比べ動搖量は大きく、そのため、実施工では建造海域における波の卓越方向を調査し、この方向に浮体の長軸が位置するよう係留することが必要である。

### 4. あとがき

本構造物は、浮遊状態で組立て・結合し完全構造体とする方法が採られており、これらの作業は精度の高い施工が要求される。このため、浮体の施工着目点での動搖量を把握することは施工性の向上につながるものと思われる。本稿では主に浮体重心位置での動搖応答特性について述べたが、この結果を用いてさらに浮体各点での動搖量の推定を行っている。また、建造海域の海象データを与えることで、浮体の動搖の長期予測が可能となり海域の選定に大いに役立つものと思われる。

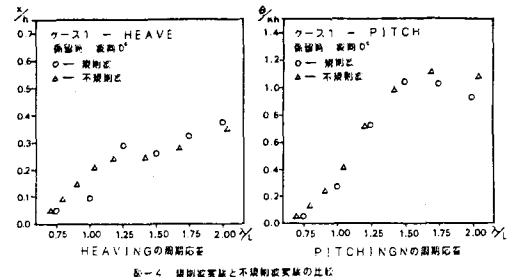


図-4 係留実験と不規則波実験の比較

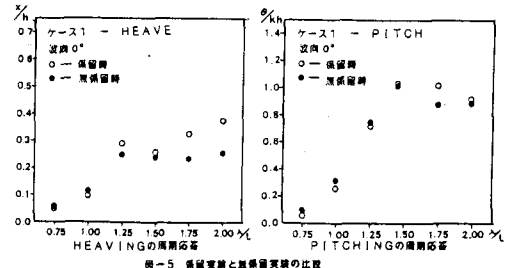


図-5 係留実験と無係留実験の比較

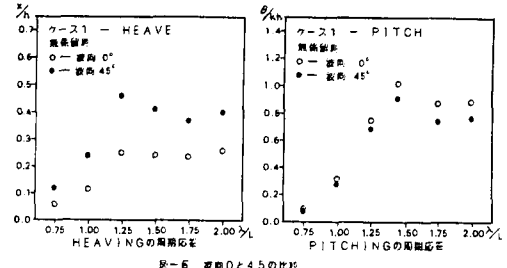


図-6 波向 0° と 45° の比較

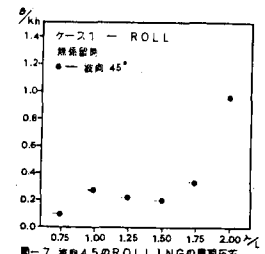


図-7 波向 45° の ROLLING の周期応答